

616.12
M18

MINISTERUL SĂNĂTĂȚII AL REPUBLICII MOLDOVA
UNIVERSITATEA DE STAT DE MEDICINĂ ȘI FARMACIE
„NICOLAE TESTEMIȚANU”

O. MALIGA, N. ROTARU, I. ZATUȘEVSKI

**DIAGNOSTICUL ECOCARDIOGRAFIC AL
MALFORMAȚIILOR CARDIACE CONGENITALE**

Recomandări metodice

CHIȘINĂU

2013

CUPRINS

Lista abrevierilor	4
Introducere	5
1. CLASIFICĂRILE CONTEMPORANE ALE MALFORMAȚIILOR CARDIACE CONGENITALE (MCC)	6
1.1. Clasificarea bazată pe starea circuitului pulmonar. Hipertensiunea pulmonară	7
1.2. Clasificarea segmentară după Van Praagh	8
2. DIAGNOSTICUL ECOCARDIOGRAFIC AL MALFORMAȚIILOR CARDIACE CONGENITALE	9
2.1. Cu ce începe diagnosticul ecocardiografic al MCC	9
2.1.1. <i>Informația necesară de obținut înainte de a începe investigația ECOCG</i>	9
2.1.2. <i>Începutul investigației ECOCG</i>	10
2.1.3. <i>Aspectele de bază ale oricărei investigații ECOCG</i>	11
2.2. Managementul ecocardiografic al MCC cu mărirea volumului circuitului mic	12
2.2.1. <i>Defect septal ventricular (DSV)</i>	12
2.2.2. <i>Defect septal atrial (DSA)</i>	18
2.2.3. <i>Canalul atrioventricular</i>	20
2.2.4. <i>Canalul arterial permeabil (CAP)</i>	22
2.2.5. <i>Aprecierea presiunii în cavitatele drepte ale cordului: rapel de metode</i>	23
2.3. Managementul ECOCG al MCC cu micșorarea volumului circuitului mic	24
2.3.1. <i>Managementul ECOCG al stenozei de arteră pulmonară</i>	24
2.3.2. <i>Managementul ECOCG al tetralogiei Fallot</i>	25
2.4. Managementul ECOCG al MCC complicate	30
2.5. Cele mai frecvente lacune în diagnosticul ecocardiografic al MCC	31
Anexe	34
Teste pentru autoevaluare	38
Răspunsuri la teste	41
Bibliografie	42

715055₄₂

Listă abrevierilor

- AD – atriușul drept
Ao – aorta
AP – artera pulmonară
APD – artera pulmonară dreaptă
APS – artera pulmonară stângă
AS – atriușul stâng
AV – atrioventricular
CAP – canalul arterial permeabil
CAVC – canalul atrioventricular complet
CAVP – canalul atrioventricular parțial
DdVS – diametrul diastolic al ventriculului stâng
DSA – defect septal atrial
DSV – defect septal ventricular
ECOCG – ecocardiografie
FOP – foramen ovale patent
GP – gradientul presarial
HTAP – hipertensiunea arterială pulmonară
MCC – malformație cardiacă congenitală
PMAP – presiunea medie în artera pulmonară
PAVD – peretele anterior al ventriculului drept
PSVD – presiunea sistolică în ventriculul drept
SIA – septul interatrial
SIV – septul interventricular
TF – tetralogia Fallot
TEVD – tractul de ejectione al ventriculului drept
VCSS – vena cavă superioară stângă
VD – ventriculul drept
VDCDE – ventriculul drept cu cale dublă de ieșire
VM – valva mitrală
VS – ventriculul stâng
VT – valva tricuspidă

INTRODUCERE

Malformațiile cardiace congenitale (MCC) reprezintă o problemă stringentă a sănătății populației, constituind cauza principală a mortalității infantile în perioada neonatală și pe parcursul primului an de viață [7, 14, 15]. Cauzele lor, în majoritatea cazurilor, rămân neelucidate [1, 9, 15, 19]. MCC este o anomalie a structurii sau funcției circuitului cardiovascular, prezentă de la naștere, chiar dacă este descoperită mult mai târziu [5]. MCC sunt maladii cardiovasculare grave, cu o frecvență de 7-8 la 1000 nou-născuți vii, incidența la nou-născuții morți fiind de 10 ori mai mare [8, 15]. Studiul retrospectiv a 62 de surse de literatură din diferite țări, efectuat de către J. Hoffman și S. Kaplan în perioada 1955-2002, a demonstrat că incidența MCC a variat de la 4 la 50 de cazuri la 1000 nou-născuți, în medie 20 la 1000 nou-născuți [8]. În Republica Moldova din aproximativ 35000 de copii născuți anual, 665 pot avea MCC [5].

Există numeroase MCC, cu diferite grade de gravitate. Majoritatea lor sunt bine tolerate în perioada intrauterină. Problemele apar după naștere, iar evoluția naturală a MCC, în cele mai multe cazuri, este nefavorabilă, provocând invalidizarea precoce și moartea pacienților. Majoritatea lor decedeață pe parcursul primului an de viață, la vîrstă de 30 de ani ajungând mai puțin de 10%. La pacienți progresează dereglările hemodinamice, fără a avea perspective de tratament conservativ [1, 4, 5].

Până în anii '50 ai secolului XX, medicii n-au avut nici o posibilitate reală de a ajuta pacienții cu MCC. Numai dezvoltarea cardiochirurgiei le-a oferit o șansă reală de supraviețuire. La etapa contemporană în peste 75% de cazuri este posibilă corecția completă anatomică și hemodinamică, în restul cazurilor se efectuează intervențiile palliative eficace [14, 15].

Unica modalitate de a influența morbiditatea și rezultatele terapeutice în MCC este depistarea lor în stadii cât mai precoce cu precizarea tuturor particularităților morfologice și hemodinamice. De menționat totodată că polimorfismul schimbărilor anatomicice în MCC determină o variabilitate foarte largă a manifestărilor clinice (de la lipsa completă a simptomelor până la o insuficiență cardiacă gravă), care nu totdeauna corelează cu gradul de gravitate a patologiei și cu indicațiile pentru tratament chirurgical.

Până în ultimii ani, diagnosticul topic precis al MCC și stabilirea indicațiilor pentru intervenția chirurgicală nu au fost posibile fără realizarea cateterismului cardiac și a angiocardiografiei. Cateterismul cardiac reprezintă însă o metodă de investigație invazivă, traumatizantă și cu risc pentru pacienți, fiind și foarte costisitoare. Această situație a și

dicitat necesitatea de a găsi o altă metodă de diagnosticare a MCC [10, 11].

Cu scopul diagnosticării corecte a MCC, inclusiv a tuturor nuanțelor necesare pentru stabilirea tacticii de tratament, în ultimii ani tot mai mult se folosește metoda ecocardiografică (ECOCG)[6, 12]. ECOCG transtoracică este o tehnică non-invazivă și puțin costisitoare care, utilizând dispozitive moderne și tehnologii noi, poate să permită depistarea precisă a anomaliei cordului și a vaselor magistrale, evaluarea parametrilor hemodinamici și supravegherea evoluției lor fără efectuarea cateterismului cardiac și a angiociardiografiei [6, 12].

Autorii își dau seama că variabilitatea foarte mare a MCC nu poate fi abordată în recomandări metodice, de aceea prezintă aspectele de bază în diagnosticul celor mai frecvente MCC. Pe de altă parte, în cazul unor MCC rare și complicate, metodologia bazată pe clasificările moderne ale MCC va permite orientarea asupra diagnosticului patologiei întâlnite. La rândul său, analiza celor mai frecvente lacune în diagnosticarea MCC va permite evitarea lor.

1. CLASIFICĂRILE CONTEMPORANE ALE MALFORMAȚIILOR CARDIACE CONGENITALE (MCC)

O malformatie cardiacă congenitală este o anomalie de „construcție” a cordului. Pornind de la aceasta, este de la sine înțeles că există diferite cardiopatii, având diferite grade de gravitate (unii autori, care au încercat să elaboreze o clasificare a MCC prin simpla enumerare, au ajuns la un număr de 200) [1, 2, 9, 19].

Polimorfismul clinic și anatomic al MCC a dictat necesitatea unei sistematizări printr-o clasificare care trebuie să fie destul de exhaustivă, ca să poată include majoritatea malformațiilor cardiace, și în același timp simplă și clară, pentru a fi înțeleasă. Clasificarea trebuie, de asemenea, să ofere o idee exactă despre fiecare anomalie concretă și despre consecințele ei.

Practic fiecare clinică cardiochirurgicală propune o variantă proprie de clasificare a MCC, care este prezentată ca cea mai performantă, însă, în realitate, până astăzi o clasificare ideală a MCC nu există [9,19].

Sunt cunoscute două clasificări ale MCC utile în lucrul practic și acceptate actualmente în lumea medicală, fiind absolut diferite din punctul de vedere al abordării

problemei date, dar ambele la fel de importante pentru înțelegerea anomalilor cardiace. Una din ele este bazată pe starea circuitului pulmonar, iar alta – pe embriologia cordului.

1.1. CLASIFICAREA BAZATĂ PE STAREA CIRCUITULUI PULMONAR. HIPERTENSIUNEA PULMONARĂ

Clasificarea include trei grupuri principale ale MCC:

- Cu mărirea volumului circuitului mic (cu sunt stânga-dreapta);
- Cu micșorarea volumului circuitului mic (majoritatea cu sunt dreapta-stânga);
- Cu circuitul mic neschimbat sau puțin schimbat (fără șunturi intersistemice):
 - a) cu obstrucție,
 - b) cu regurgitare.

O atenție deosebită necesită MCC complicate, care reprezintă un complex din câteva anomalii concomitente și pot decurge atât cu mărirea, cât și cu micșorarea volumului circuitului mic. Evoluția clinică a malformațiilor, prognosticul și tactica de tratament în mare măsură depind de faptul dacă în acest complex de anomalii există sau nu stenoza de arteră pulmonară.

Clasificarea este foarte importantă, deoarece starea circuitului pulmonar la majoritatea pacienților cu MCC determină prognosticul bolii, necesitatea, posibilitatea tratamentului chirurgical și gradul de urgență al acestuia.

Totodată clasificarea atenționează asupra hipertensiunii pulmonare, care este o urmare a evoluției spontane a tuturor malformațiilor cardiace congenitale cu sunt stânga-dreapta (cu mărirea volumului circuitului mic). Hipertensiunea pulmonară este rezultatul măririi rezistenței vasculare pulmonare din cauza jetului sanguin patologic cu direcția inițială stânga-dreapta.

Despre hipertensiunea pulmonară putem vorbi în cazul în care presiunea medie în artera pulmonară (PMAP) depășește 20 mm Hg în repaus și 30 mm Hg la efort fizic. Acestea sunt cifre normale maximale, dar, în general, la oamenii sănătoși PMAP este între 10 și 15 mm Hg [9, 15, 17, 19]. PMAP și rezistența vasculară pulmonară sunt mărite la făt și la nou-născut. La un copil sănătos acești indici diminuează până la normă pe parcursul primei luni (maximum până la 2 luni) de viață [1, 9, 14, 17, 19]. Odată cu evoluția organismului, după vîrstă de 45-50 de ani, se observă o creștere discretă a PMAP cu aproximativ 1 mm Hg la fiecare 10 ani de viață [17].

1.2. CLASIFICAREA SEGMENTARĂ DUPĂ VAN PRAAGH

Clasificarea MCC bazată pe embriologia cordului este numită "segmentară". Ea a fost propusă în 1964 de către R. Van Praagh [2, 9, 18], care a evidențiat trei segmente principale în structura cordului: atrile, ventriculele, vasele mari. Acestea, la rândul lor, sunt legate între ele indirect, cu ajutorul segmentelor de joncțiune: canalul atrioventricular și infundibulum sau conus arterios [18].

Clasificarea necesită identificarea morfologică a structurilor cardiace (prin examinare ecocardiografică, cateterism cardiac, uneori intraoperator). Majoritatea structurilor cardiace pot fi identificate datorită particularităților morfologiei interne caracteristice acestora [2, 6, 9, 18].

Bazele clasificării segmentare a MCC după R. Van Praagh:

a) Segmentele principale:

1. Atriile.
2. Ventriculele.
3. Vasele mari.

b) Segmentele de joncțiune:

1. Canalul atrioventricular - valvele atrioventriculare.
2. Infundibulum sau conus arteriosus.

c) Criteriile fundamentale care trebuie să fie apreciate:

1. *Situs* - solitus;
 - inversus;
 - ambiguus.

2. *Alinierea segmentelor principale:*

(succesiunea compartimentelor)

Concordantă (normală):

- Atrioventriculară: atriu stâng – ventriculul stâng, atriu drept – ventriculul drept.
- Ventriculo-arterială: ventriculul stâng – aorta, ventriculul drept – artera pulmonară.

Discordantă:

de exemplu:

- Transpoziția vaselor magistrale: ventriculul stâng – artera pulmonară; ventriculul drept – aorta.
3. *Conexiunea segmentelor*: în ce stărc sunt segmentele de joncțiune, adică cum sunt conectate atrile cu ventriculele și ventriculele – cu vasele mari. De exemplu, norma: atriu drept – valva tricuspidă – ventriculul drept – infundibulum, valva arterei pulmonare – artera pulmonară. În patologie: atrezia valvei tricuspidă.
4. *Relațiile spațiale dintre segmente*: anterior-posterior, superior-inferior, dreapta-stânga. De exemplu: norma – aorta este posterioară și din dreapta arterei pulmonare. Malpoziția vaselor magistrale: aorta este situată dinaintea arterei pulmonare, din stânga, este paralelă cu aceasta etc.
5. *Anomalii asociate*.

2. DIAGNOSTICUL ECOCARDIOGRAFIC AL MALFORMAȚIILOR CARDIACE CONGENITALE

2.1. CU CE ÎNCEPE DIAGNOSTICUL ECOCARDIOGRAFIC AL MCC

2.1.1. Informația necesară de obținut înainte de a începe investigația ECOCG

Actualmente, investigația ecocardiografică în aproape 90% de cazuri (practic, cu excepția doar a cazurilor de MCC extrem de complicate și cazurilor de hipertensiune pulmonară izosistemică) poate furniza toate datele morfologice și hemodinamice, care îi permit cardiochirurgului să elucideze următoarele aspecte:

- dacă un pacient concret are nevoie de tratament chirurgical;
- în cazul în care este nevoie de intervenție chirurgicală, când va fi efectuată aceasta; dacă poate fi amânată, atunci pe cât timp;
- tactica chirurgicală care va fi aplicată.

Așadar, specialistul care efectuează ECOCG trebuie să țină minte că orice pacient suferind de MCC necesită să fie îndreptat la cardiochirurg imediat după stabilirea diagnosticului și, corespunzător, raportul ECOCG al oricărui pacient cu MCC este necesar să

conțină întreaga informație indicată mai sus, independent de instituția medicală în care a fost efectuată investigația.

Aceste cerințe sunt posibil de îndeplinit, dacă se ține cont de faptul că:

- Ecocardiografia nu urmărește descoperirea malformației cardiace congenitale, ci precizarea tuturor nuanțelor anatomici și hemodinamice ale acesteia.
- Înainte de a începe investigația ECOCG, este necesară aflarea următoarei informații despre pacient:
 1. Anamnesticul, acuzele pacientului sau părinților.
 2. Examinarea clinică. Prezența sau absența cianozei etc.
 3. Auscultația.
 4. Greutatea, înălțimea. La copii este imposibil de apreciat parametrii morfologici și hemodinamici fără cunoașterea datelor antropometrice.
 5. Traseul ECG recent.
 6. În cazul unei investigații primare, în special la un copil mic cu suspecție de MCC complicată sau una cu mărire volumului circuitului mic, radiografia cutiei toracice de față este foarte utilă.

Aceste date ne oferă în 90% cazuri informația aproximativă despre prezența, topografia și repercuțiunile hemodinamice ale viciului pe care îl vom investiga.

2.1.2. Începutul investigației ECOCG

Investigația ecocardiografică a unui pacient cu suspiciune de MCC necesită apropierea sistematică și consecutivă la evaluarea anatomiciei cordului. Această apropiere metodologică este strict necesară pentru depistarea anomalieiilor de poziție a cordului și a particularităților morfologice ale MCC complicate [1, 6, 12, 13, 19]. Ea este bazată pe clasificarea segmentară a MCC [2, 9, 18].

La prima etapă se apreciază situsul, poziția atrilor și particularitățile returului venos pulmonar și sistemic. Ulterior se stabilește poziția reciprocă a atrilor și ventriculelor, morfologia și situația ventriculelor și, în sfârșit, relația spațială dintre ventriculele și vasele mari. Respectarea acestor reguli, în marea majoritate a cazurilor, permite stabilirea diagnosticului corect chiar la MCC cele mai complicate [1, 9, 16, 18]. Poziția cordului se apreciază mai bine din secțiunea subcostală. În caz de poziție normală a atrilor, atrul morfologic drept este situat în dreapta, iar cel morfologic stâng – în stânga. În normă, poziția reciprocă a atrilor și a organelor interne este aproape totdeauna

concordantă. Așadar, dacă ficatul este situat în dreapta și stomacul în stânga, situația atrilor este, de regulă, normală. În cazuri rare de situație reciprocă discordantă a atrilor și a organelor interne, probabilitatea unei malformații cardiace congenitale complicate este foarte înaltă [2, 6, 9, 12].

ECOCG bidimensională permite identificarea morfologică a ventriculelor. Ventriculul morfologic stâng se caracterizează prin formă mai rotundă și suprafață endocardială netedă, spre deosebire de ventriculul drept, cu suprafață internă trabeculară.

Valvele atrio-ventriculare, de regulă, sunt legate fiecare cu ventriculul corespunzător (de exemplu, valva care se deschide în ventriculul morfologic drept (dacă există două ventricule bine delimitate) este cea tricuspidă. Ea este situată cu câteva milimetri mai aproape de apex în comparație cu valva mitrală.

Vasile magistrale, de asemenea, pot fi identificate cu ajutorul ECOCG bidimensionale. Pentru identificarea arterei pulmonare este necesar să fie găsită bifurcația acesteia, iar pentru identificarea aortei – crosa aortică [2, 6, 9, 12].

Anomalii de situare a cordului și de situare reciprocă a compartimentelor lui pot fi foarte variabile. Sistemizarea standard a acestor anomalii este foarte dificilă, uneori imposibilă, dar utilizarea principiilor diagnostice indicate mai sus permite aprecierea corectă a morfologiei cordului în fiecare caz concret [1, 6, 12].

2.1.3. Aspectele de bază ale oricărei investigații ECOCG

1. Parametrii discriminanți în determinarea conduitei terapeutice și aprecierea eficacității corecției chirurgicale a malformațiilor cardiace congenitale sunt:
 - dimensiunile cavităților cordului;
 - diametrele inelelor valvulare și ale vaselor magistrale;
 - gradiențele presionale;
 - presiunile în cavitățile drepte ale cordului.
2. Toate măsurările standard sunt necesare în cazul tuturor pacienților cu MCC fără excepție, chiar dacă unii parametri teoretici nu ar trebui să fie mofidicați în caz de malformație suspectată. Aceasta permite evaluarea reușită a patologiei de bază și depistarea patologiiilor concomitente. Pentru atingerea succesivă a acestui scop se propune respectarea protocolului unificat (anexa 5).
3. Măsurările trebuie să fie făcute minuțios și în caz de dubii ele trebuie repetațe

până la obținerea datelor veridice.

4. Pentru estimarea corectă a repercusiunilor hemodinamice ale malformațiilor cardiace congenitale la copii este necesar să fie luate în considerație greutatea și înălțimea copilului, folosind nomogramele (anexele 1-4).

2.2. MANAGEMENTUL ECOCARDIOGRAFIC AL MCC CU MĂRIREA VOLUMULUI CIRCUITULUI MIC

2.2.1. DEFECT SEPTAL VENTRICULAR (DSV)

Defectul septal ventricular (DSV) este cea mai frecvent întâlnită malformatie cardiacă congenitală cu mărirea volumului circuitului mic și a doua după frecvență din gama vastă a MCC (aproximativ 1/5 din totalul lor), după valva aortică bicuspidă [1, 8, 15]. Este vorba despre DSV atunci când după termenul de 17 săptămâni de sarcină există un defect de țesut în orice porțiune a SIV. Defectele septale ventriculare pot fi unice sau multiple, cu localizare în partea musculară a SIV sau în partea membranoasă, în septul inlet sau outlet, sau pot prezenta o combinare de localizări [1, 5, 15, 19].

Importanța hemodinamică a DSV este determinată de 2 factori principali: dimensiunile defectului și starea rezistenței vasculare pulmonare (există sau nu protecția plămânilor, adică, există sau nu stenoza arterei pulmonare). În lipsa stenozei de arteră pulmonară (DSV izolat) evoluează rapid hipervolemia în circuitul mic, urmată de hipertensiunea pulmonară, care tocmai determină clinica maladiei și prognosticul nefavorabil în caz de evoluție spontană fără tratament chirurgical oportun. În cazul unui DSV de dimensiuni mari, schimbările ireversibile ale circuitului mic se produc foarte rapid, iar spre vîrsta de un an copilul poate fi deja inoperabil [5, 9, 15]. Autorii [1, 4, 9, 15, 19] disting 3 tipuri anatomice ale DSV: perimembranoase, musculară și subarteriale (supracristale), cazarile cel mai rar întâlnite. DSV cu dimensiuni ≤ 4 mm se consideră mici, 4-7 mm – medii și ≥ 7 mm – mari [1, 9, 15].

Examenul ecocardiografic relevă următoarele particularități:

- atrii și/sau ventriculul stâng sunt dilatate, ceea ce poate indica asupra cardiopatiei care conduce la dilatarea cavitărilor stângi ale cordului (DSV, CAP, valvulopatie mitrală sau aortică, cardiomiopatie dilatativă, miocardită);
- artera pulmonară este de dimensiuni normale sau dilatată, jetul sangvin prin valva AP este laminar sau puțin turbulent, uneori pot fi prezente schimbări fibroase

- usoare ale valvei, dar cu GP maximal VD-AP în limitele normei (< 10 mm Hg) sau puțin mărit (maximal până la 20-25 mm Hg);
- cavitatele drepte ale cordului sunt de dimensiuni normale (*figura 1*).

În continuare examinăm SIV. Dacă depistăm o discontinuitate a septului, pentru a confirma prezența unui DSV, este necesar să constatăm prezența jetului sangvin prin defect cu ajutorul metodei Doppler pulsatil, continuu și color (*figurile 1, 2, 3, 6*). Depistarea ecocardiografică a unui DSV mare de obicei nu prezintă dificultăți (*figura 3*). DSV de dimensiuni medii necesită o analiză detaliată din toate incidentele care permit vizualizarea lui. Depistarea DSV de dimensiuni mici, în special a celor cu localizarea în regiunea SIV muscular, poate fi foarte dificilă. În acest caz, avem un tablou auscultativ clasic al unui DSV, ceea ce indică asupra direcției de căutare. Secțiunea parasternală transversală poate fi cea mai informativă în depistarea și evaluarea defectelor SIV muscular mediu, iar cea apicală 4 camere – în cazul DSV apicale.

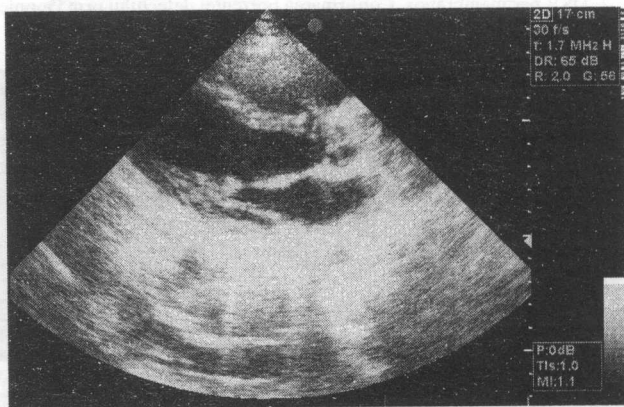


Fig. 1. DSV perimembranos. Discontinuitatea SIV, secțiunea parasternală longitudinală.

Mărirea presiunii în cavitatele drepte ale cordului de asemenea impune stabilirea cauzei care o determină.

În cazul unui DSV de dimensiuni mici, în special localizat în partea musculară a SIV, volumul jetului prin defect este nesemnificativ și nu provoacă dereglați hemodinamice. La pacienți cu astfel de MCC, în lipsa altor cardiopatii, dimensiunile cavitateilor cordului și presiunea în cavitatele drepte rămân în limitele normei (*figura 7*).

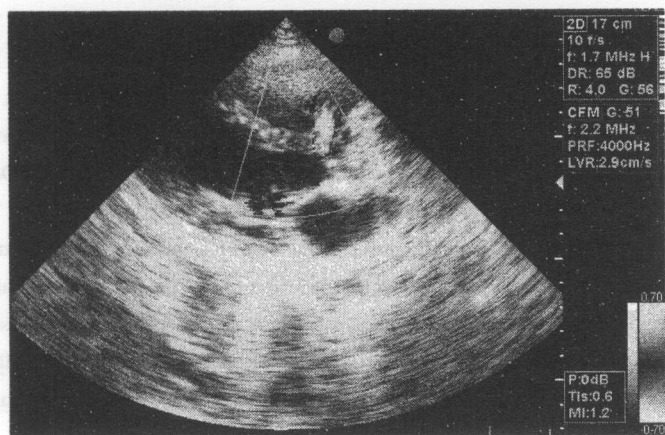


Fig. 2. DSV perimembranos. Confirmarea prezenței defectului prin Doppler color.

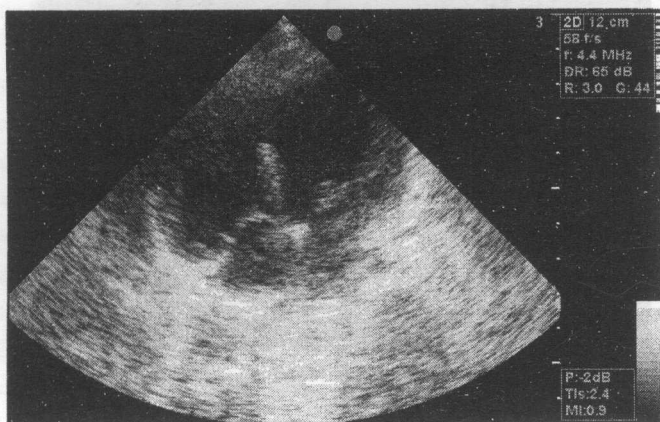


Fig. 3. DSV muscular de dimensiuni mari. Secțiunea apicală 4 camere.

În contextul studiului efectuat, considerăm necesară evidențierea următoarelor aspecte importante în diagnosticul ECOCG al DSV:

- dacă depistăm un DSV, este necesar să prezintăm în raportul ECOG caracteristica detaliată a acestuia: localizarea, dimensiunile, direcția, volumul și gradientul presional maximal al jetului sanguin prin defect;
- calculăm minuțios presiunea în cavitățile drepte ale cordului cu ajutorul uneia din cele trei metode posibile (utilizând gradientul regurgitant prin valva tricuspidă, sau pulmonară, sau gradientul jetului prin defect) și indicăm rezultatul în raportul investigației, folosind date numerice (mm Hg);
- un DSV perimembranos necesită o atenție deosebită în cazul localizării lui sub valva Ao sau tricuspidă, care poate masca dimensiunile reale ale defectului. Dilatarea cavităților stângi ale cordului și mărirea presiunii în cavitățile drepte indică asupra prezenței unui DSV hemodinamic important chiar în cazul în care dimensiunile lui măsurate ecocardiografic par să fie mici. În astfel de cazuri se indică tratament chirurgical;
- în cazul unui DSV perimembranos în aneurism, gradul dereglarilor hemodinamice nu depinde de dimensiunile aneurismului la baza lui, ci de dimensiunile orificiului (orificiilor) în aneurism, care tocmai prezintă un DSV „efectiv” (*figurile 4, 5*).

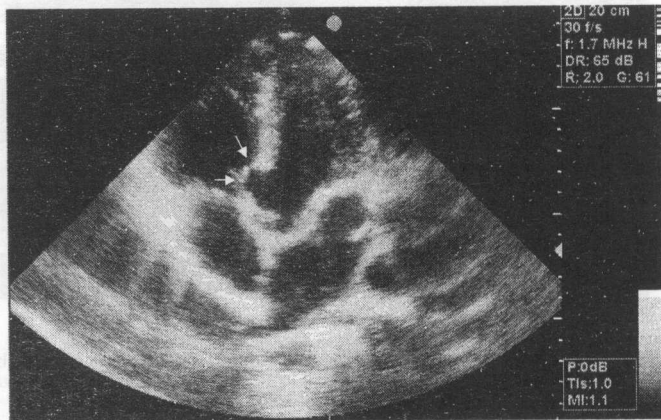


Fig. 4. Aneurism al SIV perimembranos cu 2 orificii (săgeți). Secțiunea apicală 4 camere.

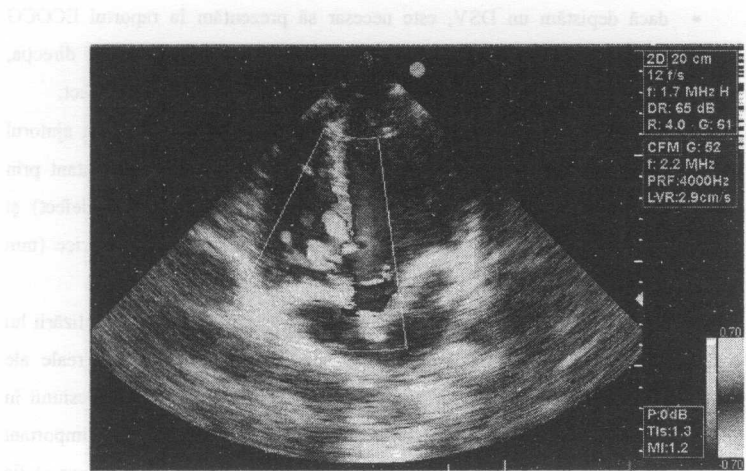


Fig. 5. Același pacient. Confirmarea prezenței orificiilor prin Doppler color.

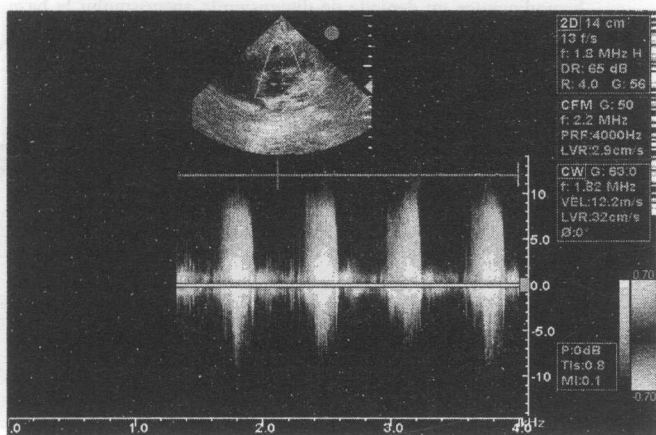


Fig. 6. Confirmarea jetului prin DSV cu metoda Doppler continuu. Jet turbulent de
velocitate înaltă VS-VD.

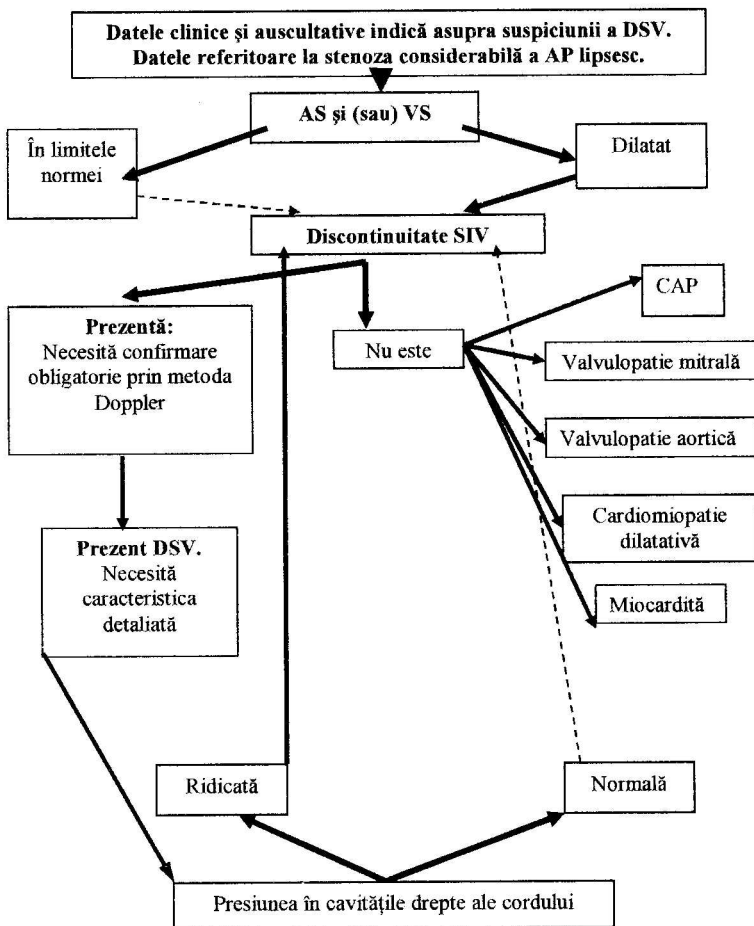


Fig. 7. Algoritmul diagnosticului ecocardiografic în caz de suspiciune de DSV.

Notă: liniile punctate indică asupra faptului că, chiar în cazul dimensiunilor normale ale cavitațiilor stângi ale cordului și presiunilor normale în cavitațiile drepte, dacă avem datele ausculitative corespunzătoare, este posibilă existența unor DSV mici fără repercușiuni hemodinamice.

715055

2.2.2. DEFECTUL SEPTAL ATRIAL (DSA)

Defectul septal atrial (DSA) este o malformație cardiacă congenitală în care există o comunicare anormală între cele două atrii. Ea este cea mai frecvent întâlnită MCC la adulți. Există multe forme anatomicice ale DSA, care pot fi împărțite în 2 grupuri [1, 9, 15]:

- 1) DSA de tip „ostium secundum”, care sunt situate în partea centrală sau superioară a SIA, în regiunea fosei ovale sau mai aproape de orificiul venei cave superioare.
- 2) DSA de tip „ostium primum”, care se localizează în partea inferioară a SIA și marginea lor inferioară este formată de crista care separă valva atrioventriculară stângă de cea dreaptă. Acest tip de DSA este aproape totdeauna însotit de o anomalie a valvei mitrale.

Mărimea defectelor variază de la câțiva milimetri până la lipsa aproape completă a septului (*figurile 8, 9*). *Defectul cu dimensiunile de până la 4 mm localizat central în regiunea fosei ovale reprezintă o comunicare fetală păstrată, poartă denumirea de „foramen ovale patent” și este o variantă a normei la aproximativ ¼ din populație* [1, 4, 15].

Pentru că presiunea în partea stângă a inimii este mai mare decât în partea dreaptă, inițial în cazul unui DSA are loc trecerea sângelui din atriu stâng în atriu drept (sunt stânga-dreapta). Importanța hemodinamică a DSA, ca și în cazul unui DSV, este determinată de dimensiunile defectului și starea rezistenței vasculare pulmonare (există sau nu stenoza arterei pulmonare). (Asocierea DSA și stenozei de arteră pulmonară era cunoscută sub denumirea de „triada Fallot”, termen care nu mai este utilizat actualmente). În lipsa stenozei arterei pulmonare (DSA izolat), se dezvoltă hipervolemia în circuitul mic. Hipertensiunea pulmonară în cazul DSA se dezvoltă mai lent și, de regulă, nu atinge valori critice la pacienții în vîrstă de până la 20 de ani. La maturi, însă, se dezvoltă hipertensiunea pulmonară cu schimbări severe ale patului arterial pulmonar.

Deoarece șuntarea sângelui are loc la nivelul atriilor (cu direcția AS→AD→VD→AP), DSA hemodinamic semnificativ duce la mărirea cavităților drepte ale cordului: atriului drept, ventriculului drept, arterei pulmonare. Dilatarea cavităților stângi ale cordului în cazul unui DSA izolat nu are loc; din contra, dacă defectul este mare și cavitățile drepte sunt dilatate considerabil, dimensiunile VS pot fi la limita inferioară a normei.

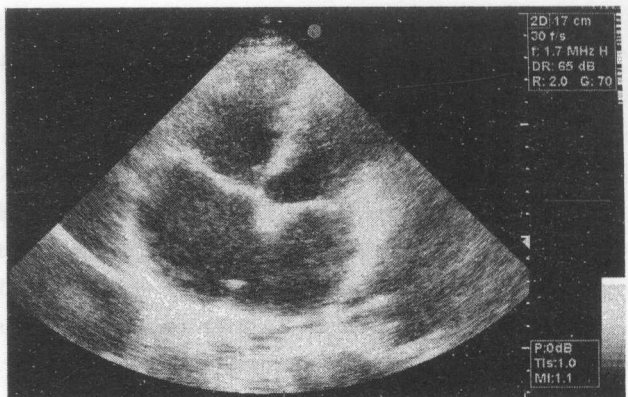


Fig. 8. Defect septal atrial. Secțiunea apicală 4 camere.



Fig. 9. Foramen ovale patent. Secțiunea subcostală, confirmare prin Doppler color.

Pentru diagnosticul ECOCG corect al DSA sunt importante următoarele aspecte:

- Dimensiunile AD, VD, AP și presiunile în cavitățile drepte ale cordului prezintă aspectele de bază în depistarea DSA.
- În cazul unui DSA de dimensiuni mari ($\geq 12-15$ mm), diagnosticul ECOCG de obicei nu prezintă dificultăți. Defectele de dimensiuni mai mici, în special ≤ 10 mm, nu sunt ușor de vizualizat. În această situație mărirea dimensiunilor AD și/sau VD și mărirea presiunii în cavitățile drepte ale cordului ne orientează spre direcția de căutare.

- Vizualizarea defectelor mici situate central este mai reușită din secțiunea subcostală. DSA cu localizarea în partea inferioară a SIA se depistează mai bine din secțiunea parasternală transversală.
- Un punct aparte prezintă DSA „ostium secundum” de tip „sinus venosus superior”. Aceste defecte se localizează în partea superioară a SIA și de regulă sunt asociate cu drenarea anormală a unei sau ambelor vene pulmonare drepte. Depistând o dilatare considerabilă a cavităților drepte ale cordului și mărirea presiunii în cavitățile drepte, vizualizarea defectului propriu-zis este foarte dificilă. Ea poate fi mai reușită din secțiunea parasternală transversală sau din secțiunea subcostală.
- Pe de altă parte, artefacte de vizualizare în regiunea foramen ovale pot duce la diagnosticul eronat al DSA. Aspectele indicate mai sus vor facilita stabilirea diagnosticului corect.

2.2.3. CANALUL ATRIOVENTRICULAR

Canalul atrioventricular prezintă o MCC complexă, care se formează datorită unei tulburări în dezvoltarea bureleștilor endocardici. Se evidențiază canalul atrioventricular complet (CAVC) și parțial (CAVP) (*figurile 10, 11*).

CAVC include:

- DSA „ostium primum”;
- DSV posterior, de admisie;
- Anomalia valvelor atrioventriculare, mai frecvent, „cleft” total al valvei mitrale anterioare și hipoplazia valvei septale a VT; poate fi valva AV comună.

CAVP, de regulă, include:

- DSA „ostium primum”;
- Valvulopatie mitrală, de obicei, „cleft” al valvei mitrale anterioare.

CAVC, cu rare excepții, face parte din sindromul polimalformativ în cadrul trisomiei 21 (maladie Daun). MCC duce la instalarea precoce a HTAP ireversibile (către vîrstă de un an).

Diagnosticul ecocardiografic al canalului atrioventricular complet, de obicei, nu prezintă dificultăți. De menționat următoarele aspecte:

- Evaluarea minuțioasă a ventriculu lui stâng. Dimensiunile VS la limita inferioară a normei sau chiar hipoplazia acestuia prezintă un semn al prognosticului negativ în cazul corecției radicale a acestei MCC.
- Evaluarea DSV (stabilirea părții interventriculare în diametrul total al comunicării atrioventriculare). DSV de dimensiuni mari contribuie la instalarea precoce a HTAP severe care poate fi ireversibilă spre vîrstă de un an și dictează necesitatea unei intervenții chirurgicale paliative în primele luni ale vieții; în schimb, îngustarea arterei pulmonare în cazul DSV mare va fi eficientă.
- În cazul CAVC, aprecierea presiunii sistolice în VD nu va fi veridică. Pentru a evalua gradul hipertensiunii pulmonare este necesar să calculăm presiunea medie în artera pulmonară folosind gradientul de regurgitare prin valva arterei pulmonare.

În cazul CAVP, de obicei, prima patologie depistată este DSA de tip „ostium primum”. Evidențierea unui astfel de defect trebuie să impună automat o analiză minuțioasă a valvei mitrale.

Un caz aparte, mai rar întâlnit, prezintă aşa-numitul *canal atrioventricular oblic*, care prezintă o comunicare patologică VS→AD.

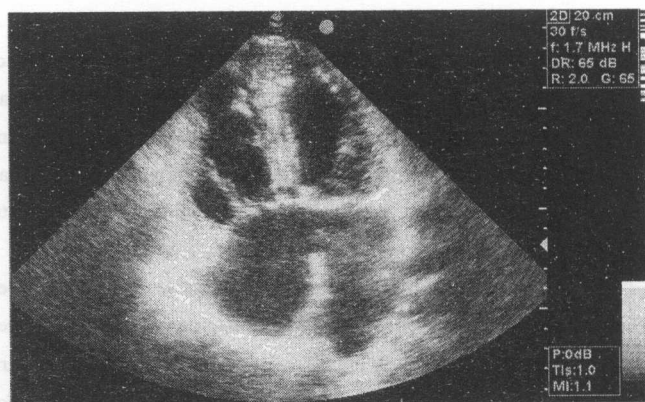


Fig. 10. Canalul atrioventricular parțial. DSA “ostium primum”, secțiunea apicală 4 camere.

le nuanțe

la leziuni

cu sfidări

nu obișnuite

climatice

vîrstă veche

săptămâni

miliardelor

anilor înainte

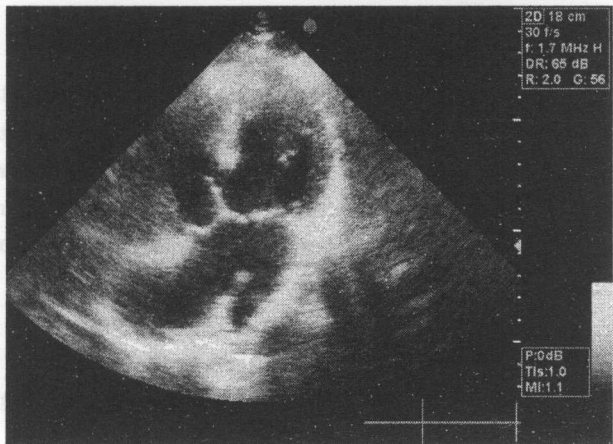


Fig. 11. Canalul atrioventricular complet, secțiunea apicală 4 camere.

2.2.4. CANALUL ARTERIAL PERMEABIL (CAP)

Canalul arterial permeabil, sau ductul Botal, reprezintă o comunicație fetală păstrată după naștere și constituie circa 10% din cazurile MCC [1, 9, 15, 19]. El reprezintă o comunicare între aorta și artera pulmonară.

Înțial, șuntarea săngelui, după diferența de presiune, are direcția AO→AP→AS→VS. Debitul sanguin prin canal este direct proporțional calibrului acestuia; în caz de un calibr mare, hipertensiunea pulmonară avansată se instalează foarte rapid, în primii ani de viață. Corespunzător, primul semn ECOCG al unui CAP hemodinamic semnificativ este dilatarea arterei pulmonare, urmată, în lipsa tratamentului chirurgical, de dilatarea cavităților stângi ale cordului simultan cu creșterea treptată a presiunii în cavitățile drepte.

CAP trebuie căutat sistematic la fiecare pacient investigat ECOCG, independent de prezența altor MCC. În afară de cele expuse mai sus, trebuie menționate următoarele:

- Depistarea ductului propriu-zis se face din secțiunea parasternală transversală și, dacă vizualizarea permite, este mai reușită în poziția pacientului în decubit dorsal decât în cel lateral. De asemenea, ductul poate fi depistat din secțiunea suprasternală.

- Prezența jetului sanguin cu direcția AO→AP permite calcularea presiunii sistolice în AP după gradientul acestui jet, cunoscând presiunea sistolică sistemică.
- Inițial, jetul patologic AO→AP este sistolo-diastolic. Odată cu creșterea presiunii în AP, el devine doar sistolic. În caz de hipertensiune pulmonară izosistemică (fie cauzată de însuși CAP, fie de o altă MCC concomitentă), examenul ecografic poate să nu confirme prezența sau absența ductului.

2.2.5. APRECIEREA PRESIUNII ÎN CAVITĂȚILE DREPTE ALE CORDULUI: RAPEL DE METODE

Presiunea în cavitățile drepte ale cordului se calculează folosind una din trei metode posibile:

1. În primul rând, se stabilește presiunea sistolică în ventriculul drept (PSVD), folosind gradientul presarial maximal al jetului regurgitant prin valva tricuspidă, în modul următor: $PSVD = 4V^2 + PAD$, unde V – viteza maximală a jetului regurgitant prin VT, iar PAD – presiunea în atriu drept, care se consideră egală cu: 5-10 mm Hg la oameni sănătoși, cu dimensiuni normale ale AD și funcția normală a cordului drept; 15 mm Hg în caz de dilatare a AD și până la 20 mm Hg la insuficiența cardiacă dreaptă considerabilă și dilatarea AD excesivă [6, 12, 17].
2. În lipsa regurgitației la nivelul valvei tricuspide, se stabilește presiunea medie în artera pulmonară (PMAP), folosind gradientul presarial maximal al jetului regurgitant prin valva arterei pulmonare, după formula: $PMAP = 4V_{rp}^2 + PAD$, unde V_{rp} – viteza protodiastolică maximală a jetului regurgitant prin valva arterei pulmonare, PAD – presiunea în atriu drept [6, 12, 17].
3. În lipsa regurgitației și la nivelul valvei arterei pulmonare, PSVD poate fi calculată folosind gradientul maximal al jetului sanguin prin defect și cunoscând presiunea arterială sistolică a pacientului (metoda poate fi utilizată pentru calcularea presiunilor în cavitățile drepte ale cordului la pacienții cu DSV sau CAP). Gradientul presarial maximal al jetului sanguin în toate cazurile se calculează cu ajutorul formulei Bernoulli: $GP = 4V^2$.

Este important de menționat următoarele aspecte:

- Cea mai veridică este considerată metoda aprecierii presiunilor în cavitățile drepte ale cordului folosind gradientul jetului regurgitant prin VT. Numai în caz de imposibilitate a folosirii acestei metode (lipsa regurgitării de VT detectabile sau unele variante anatomice ale MCC în care aceste date nu sunt veridice, de exemplu, CAVC, ventriculul unic), se utilizează metoda aprecierii presiunii medii în AP. Dacă nu există nici jetul regurgitant prin valva AP detectabil, în cazul unor MCC (DSV, CAP), presiunea în cavitățile drepte ale cordului poate fi calculată folosind gradientul jetului prin comunicarea patologică și cunoșcând presiunea sistolică sistemică.
- Practic în toate cazurile presiunea în cavitățile drepte ale cordului poate fi calculată folosind una din cele trei metode indicate mai sus.
- Aprecierea gradientului presional maximal al jetului regurgitant prin valva AP permite calcularea presiunii *medii* în artera pulmonară. Pentru aprecierea presiunii sistolice în AP a fost propusă o formulă mai complicată, prin calcularea inițială a presiunii în AP medii și a celei diastolice, dar ea nu se utilizează actualmente, dovedindu-se a fi complicată și puțin veridică.
- Toate metodele indicate mai sus pot fi utilizate doar în lipsa stenozei de AP sau în prezența unei stenoze nepronunțate. În cazul stenozei de AP moderate sau considerabile, rezultatele obținute nu sunt veridice.

2.3. MANAGEMENTUL ECOCG AL MCC CU MICȘORAREA VOLUMULUI CIRCUITULUI MIC

2.3.1. MANAGEMENTUL ECOCG AL STENOZEI DE ARTERĂ PULMONARĂ

Stenoza de arteră pulmonară poate fi izolată sau poate fi una din mai multe anomalii în cadrul unei MCC complicate. În această ultimă situație ea reprezintă un semn diferențial în clasificarea unei MCC ca fiind una cu mărire sau cu micșorarea volumului circuitului mic. Raportul investigației ECOCG trebuie să releve caracteristica tractului de

ejecție a ventriculului drept (TEVD) (prezența, gradul și extindere a hipertrofiei infundibulului) și a arterei pulmonare la toate nivelurile: dimensiunile inelului, caracteristica valvei, dimensiunile trunchiului și ale ramurilor principale, caracteristica bifurcației, prezența comunicațiilor patologice (CAP, arterele colaterale). Dacă depistăm o stenoză de AP moderată (gradientul presional VD-AP 25-45 mm Hg), în primul rând este necesar să ne asigurăm că gradul stenozei a fost apreciat corect (*figura 14*).

2.3.2. MANAGAMENTUL ECOCG AL TETRALOGIEI FALLOT

Tetralogia Fallot este o formă complexă de MCC, identificată ca o unitate clinică de către Arthur Louis Etienne Fallot, care a propus termenul „tetralogia” în 1888. Maladia include 4 componente coexistente [1, 3, 9, 15] :

- 1) DSV subaortic, de obicei nerestrictiv;
- 2) stenoza arterei pulmonare infundibulară ± valvulară (sau atrezia de valvă);
- 3) dextrapozitie aortei;
- 4) hipertrofia ventriculului drept.

Atât în cazul tetralogiei Fallot, cât și în cazul unui DSV cu stenoză de arteră pulmonară, examenul ecocardiografic relevă prezența unui DSV subaortic. Conduita de mai departe a medicului ecocardiografist este prezentată în *figura 15*.

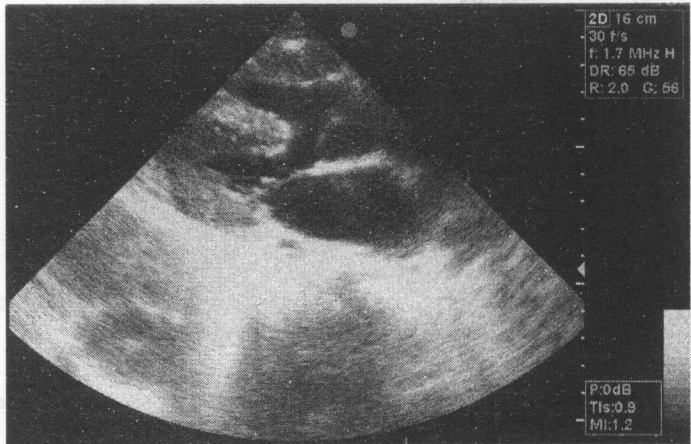
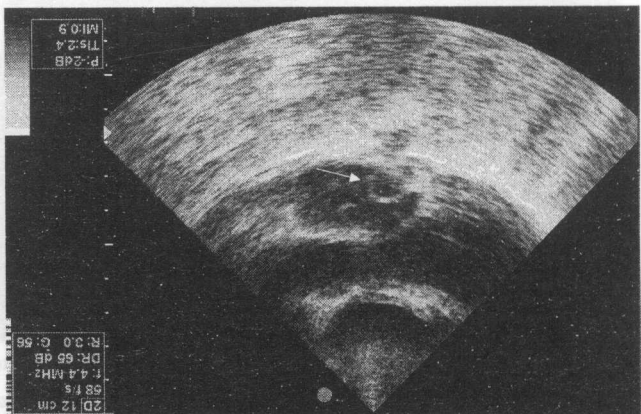


Fig. 12. Tetralogia Fallot, secțiunea parasternală longitudinală. DSV subaortic mare, aorta „călare” pe SIV cu dextrapozitie și hipertrofia VD.

longitudinală

Fig. 13. Dilatarea sinusului coronarian (sagittală) cauzată de VCS. Secțiunea parasternală



Stenozăa aterosclerotică sau ductul arteriel permeabil. De asemenea, pot exista surse aditivante ale circulației sanguine pulmonare, cum sunt arterele colaterale sau ductul arteriel permeabil. Acestea pot fi hipoplazice, numeroși considerabili sau atrofici. Stenozăa aterosclerotică se poate plasa și la nivelul ramurilor AP, care pot fi hipoplazice, sau la nivelul rami oblicui. În același loc, se poate întâlni și o hiperplazie pulmonară spre un criculitumic, care conduce foarte rapid la evoluția hiperplasiei pulmonare spre un subarctic mare și dextropozititia arterii, este vorba de o MCC cu mărită volumului considerabilă. Dacă depistăm o stenoză de AP nepronuntată la un pacient cu DSV trebuie să ne temem că poate să fie o afecțiune pulmonară la pacient cu tetralogia Fallot este totdeauna considerabilă. Stenoză de arteră pulmonară la pacientii cu tetralogia Fallot este totdeauna subarctică și dextropozitivă.

Abschürfung dagegen ventrikulärer Defekte, prähodynamische Echokardiographie, siehe Sonografie mit submündender, tunicatlicher, tunica mit mündender, tricuspidal de ejezie, valva AP, patient cu TF. În acest scop trebuie să ne folosim metodica de amalia segmentară și să studiem cordul și vasele magistrale din toate secțiunile ECOG existente (parasternala, apicală, suprasternală, subxifoidiană).

Abordarea sistemică a problemelor permite, prin examinarea ecocardiografică, să ne asigurăm dacă ventriculul drept, regimenea lui mündibulară, tracul de ejecție, valva AP,

Abordarea sistemică a problemei permite, prin examinarea ecocardiografică, să ne asigurăm dacă ventriculul drept, regiunea lui infundibulară, tractul de ejeție, valva AP, joncțiunea sinotubulară, trunchiul și ramurile AP sunt dezvoltate pe deplin la fiecare pacient cu TF. În acest scop trebuie să ne folosim metodic de analiza segmentară și să studiem cordul și vasele magistrale din toate secțiunile ECOCG existente (parasternală, apicală, suprasternală, subxifoidiană).

Stenoza de arteră pulmonară la pacienții cu tetralogia Fallot este totdeauna considerabilă. Dacă depistăm o stenoză de AP nepronunțată la un pacient cu DSV subaortic mare și dextrapoziția aortei, este vorba de o MCC cu mărire volumului circuitului mic, care conduce foarte rapid la evoluția hipertensumii pulmonare spre un stadiu ireversibil. Tactică de tratament în aceste cazuri este absolut diferită.

Stenoza adițională se poate plasa și la nivelul ramurilor AP, care pot fi hipoplazice, uneori considerabil.

De asemenea, pot exista surse adiționale ale circulației sanguine pulmonare, cum sunt arterele colaterale sau ductul arterial permeabil.



Fig. 13. Dilatarea sinusului coronarian (sägeata) cauzată de VCSS. Secțiunea parasternală longitudinală.

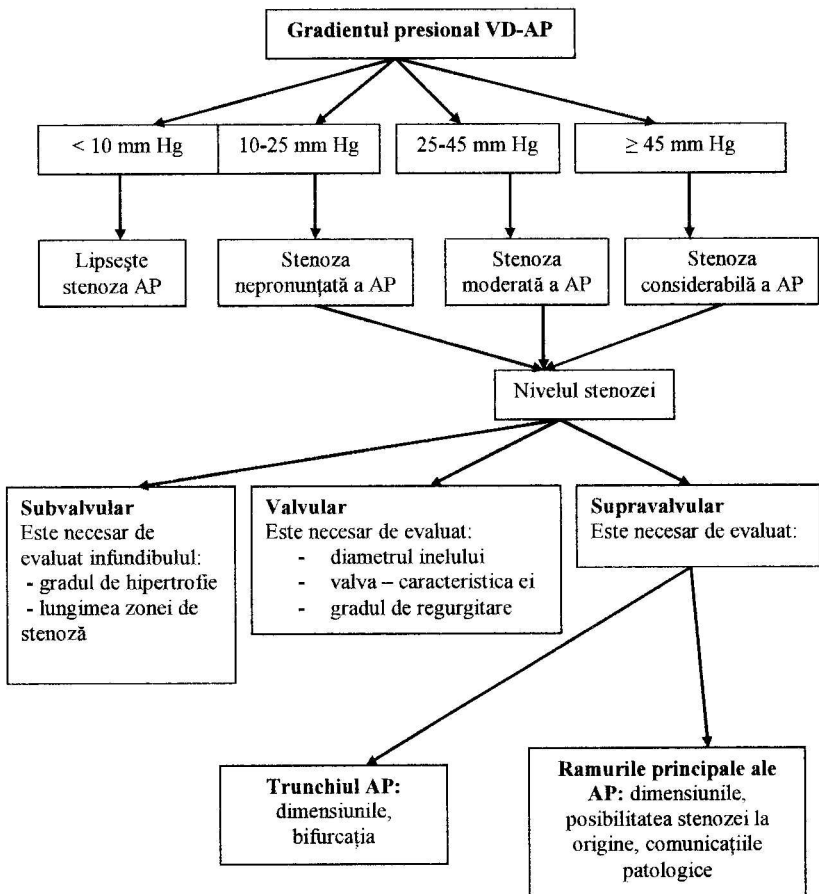


Fig. 14. Algoritmul evaluării ecocardiografice în caz de stenoză a arterei pulmonare.

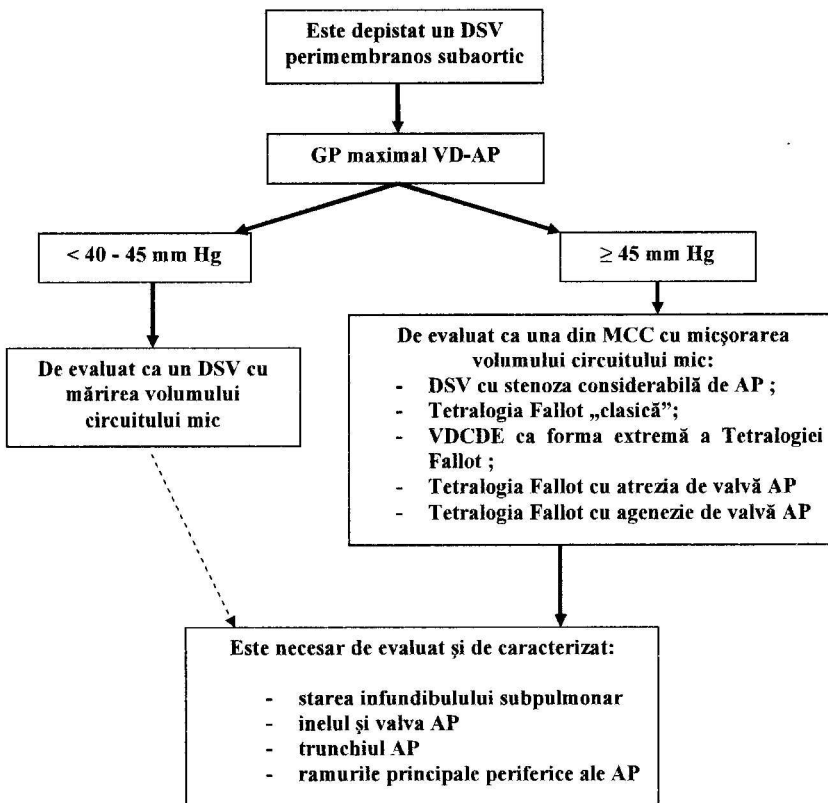


Fig. 15. Conduita medicului ecocardiografist în caz de depistare a unui DSV subaortic.

Algoritmul diagnosticului ECOCG în caz de suspiciune la TF sau DSV cu stenoza considerabilă de artera pulmonară este prezentat în *figură 16*.

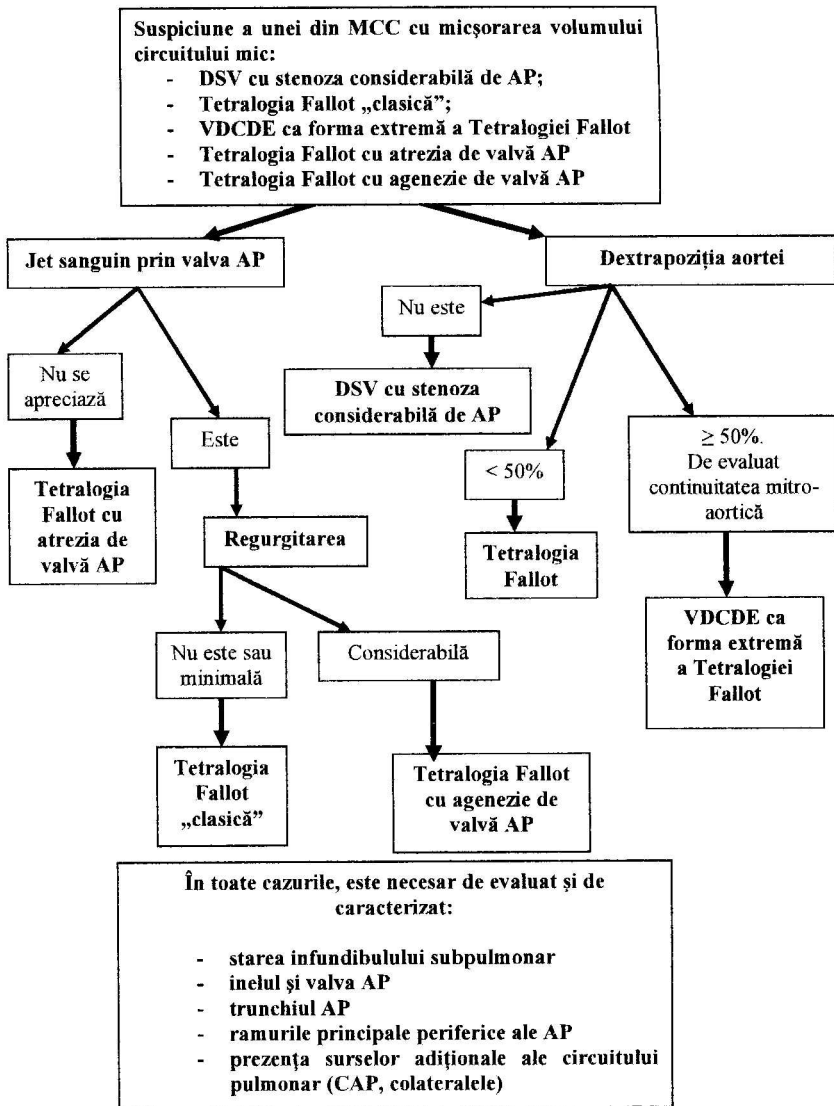


Fig.16. Algoritmul diagnosticului ecocardiografic în caz de suspiciune a Tetralogiei Fallot

Examenul ecocardiografic relevă: prezența unui DSV subaortic; aorta „călare” pe SIV, dextrapoziționată; relația spațială normală a vaselor magistrale; hipertrofia VD (care poate fi minimală la nou-născuți), stenoza considerabilă de arteră pulmonară.

Deplasarea aortei spre VD cu $\geq 50\%$ poate indica asupra unei variante de VDCDE cu DSV, stenoza AP considerabilă și relația spațială normală a vaselor magistrale („forma extremă a tetralogiei Fallot”). Diagnosticul diferențial al acestor malformații continuă să provoace uneori discuții aprinse între specialiștii în domeniu. Deplasarea completă a aortei spre VD, lipsa de continuitate mitro-aortică, prezența conusului subaortic indică asupra VDCDE (*figura 16*).

În caz de atrezie de valvă AP, jetul sanguin prin valvă nu se constată, dar putem vizualiza trunchiul și ramurile arterei pulmonare, de regulă, hipoplaziate, care de obicei se alimentează retrograd prin CAP sau arterele colaterale.

În caz de agenezie de valvă AP, cu ajutorul metodei Doppler ECOCG depistăm semne de stenoză considerabilă la nivelul valvei, însă valva însăși este rudimentară, se vizualizează dificil, stenoza este însoțită de regurgitarea considerabilă a AP. La acești pacienți inelul arterei pulmonare poate fi normal sau hipoplazic, trunchiul și ramurile (îndeosebi) sunt dilatate, uneori aneurismatic (*figura 16*).

Prezența hipoplaziei VS și/sau hipoplaziei ramurilor periferice ale AP dictează necesitatea corecției chirurgicale pe etape, prima etapă fiind aplicarea anastomozei sistemico-pulmonare.

2.4. MANAGEMENTUL ECOCG AL MCC COMPLICATE

În cazul evaluării unei MCC complicate, cum ar fi, de exemplu, ventriculul unic, trunchiul arterial comun, atrezia de arteră pulmonară, ventriculul drept (sau stâng) cu cale dublă de ieșire etc., este necesar să se țină cont de următoarele aspecte:

- În cazul unei MCC complicate este indispensabilă evidențierea morfologică a tuturor compartimentelor existente ale cordului și a concordanței atrioventriculare și ventriculo-arteriale conform clasificării segmentare după Van Praagh.
- Fiecare MCC complicată prezintă un complex de malformații. Evoluția clinică și tactică chirurgicală în mare măsură depinde de faptul dacă este sau nu este prezentă printre aceste malformații stenoza de arteră pulmonară.

2.5. CELE MAI FRECVENTE LACUNE ÎN DIAGNOSTICUL ECOCARDIOGRAFIC AL MCC

1. Nu se iau în considerație parametrii antropometrici ai copilului, ca rezultat sunt estimate incorect dimensiunile cavităților cordului.
2. În cazul Tetralogiei Fallot stenoza de arteră pulmonară este totdeauna considerabilă. Dacă stenoza nu este considerabilă, sunt posibile următoarele situații:
 - a) gradul stenozei a fost apreciat incorect. Evaluarea arterei pulmonare conform recomandațiilor de mai sus va permite stabilirea gradului real al stenozei și reevaluarea asectiei până la obținerea datelor veridice;
 - b) MCC la pacientul în cauză nu este tetralogia Fallot, ci DSV subaortic mare cu stenoză de AP concomitentă minimală sau fără de stenoză, GP puțin mărit fiind relativ (cauzat de mărire debitalui sanguin prin valvă). Acest pacient trebuie tratat ca unul cu DSV mare fără protecția plămânilor și cu riscul de instalare precoce a hipertensiunii pulmonare avansate. Tactica de tratament al unui astfel de pacient diferă radical de cea a pacientului cu TF.
3. În cazul depistării patologiei valvulare, raportul include doar viteza fluxului sanguin și/sau gradul de regurgitare la nivelul ei, ceea ce nu permite nici concluzia despre etiologia posibilă a schimbărilor depistate, nici stabilirea tacticii și timpului de tratament. Raportul calitativ într-un astfel de caz trebuie să includă:
 - a) diametrul inelului fibros;
 - b) caracteristica cuselor;
 - c) caracteristica structurilor din vecinătate;
 - d) gradientul presional (anume gradientul! Indicarea doar a vitezei jetului sanguin este insuficientă) și nivelul formării acestui gradient: valvular, subvalvular etc.;

- c) prezența și caracteristica jetului regurgitant.
4. Prezenta sinusului coronarian dilatat în 99% de cazuri înseamnă prezența de venă cavă superioară stângă cu drenare în sinus coronarian, și nu vene pulmonare total aberante. Pentru confirmare, este suficient:
- să fie evaluate cavitățile drepte ale cordului. În cazul venelor pulmonare aberante acestea vor fi dilatate;
 - să fie calculată presiunea în cavitățile drepte ale cordului. În cazul venelor pulmonare aberante ea va fi mărătă considerabil;
 - să se țină cont că venele pulmonare total aberante prezintă o MCC destul de rară și foarte gravă; durata vieții copilului suferind de această MCC fără intervenție chirurgicală, de regulă, nu depășește 6 luni;
 - prezența VCSS este ușor de confirmat prin plasarea sondei în regiunea supraclaviculară stângă, unde va fi depistat un flux venos caracteristic.
5. Gradientul presional de 16-18 mm Hg la nivelul istmului aortic este considerat semn al coarctării de aortă. Gradientul presarial până la 18 mm Hg la copii este normal. În acest caz, semnele clinice și paraclinice ale coarctării aortice lipsesc, ventriculul stâng are dimensiuni normale și nu este hipertrofiat, jetul sangvin la nivelul istmului aortic este liber (ceea ce este dificil de precizat la adulți, dar în majoritatea cazurilor se vizualizează ușor la copii).
6. În cazul unui DSV perimembranos în aneurism, diametrul aneurismului la baza lui se prezintă ca diametrul defectului, iar dimensiunile reale ale orificiului (orificiilor) în acest aneurism, care tocmai sunt responsabile de repercusiunile hemodinamice ale MCC (chiar și însuși faptul prezenței acestui orificiu), nu sunt apreciate. În unele cazuri aneurismul SIV perimembranos fără orificiu este diagnosticat ca DSV, ceea ce nu este corect.
7. După ce a fost diagnosticată o MCC, nu se mai căută alte MCC posibile. Căutarea sistematică a altor malformații este necesară. În special se atrage atenția asupra prezenței sau absenței:

- canalului arterial permeabil;
- coarctației aortice;
- DSA sau foramen ovale;
- venei căve superioare stângi.

ANEXE

Anexa I

Valorile normale ale indicilor ecocardiografici la copii

Indice	Ao		AS		SIVd		SIVs		PPVs d		PPVs s		DDVS		DSVS								
	Medit.	s.d.	Medit.	s.d.	Medit.	s.d.	Medit.	s.d.															
Lamela mitralica, cm	0.83	0.14	1.17	1.15	0.67	1.64	2.46	0.81	3.98	3.94	1.27	6.61	2.20	0.51	3.89	4.12	1.72	1.14	1.17	1.16	0.75		
Lam. inferioara, cm	0.93	0.64	1.23	1.24	0.76	1.77	2.68	1.11	4.24	4.37	1.72	7.02	2.18	0.79	4.16	4.60	2.22	3.28	1.31	2.33	1.26	0.85	
Mediat. sin	1.03	0.75	1.32	1.32	0.83	1.89	2.84	1.38	4.49	4.78	2.14	7.41	2.74	1.06	4.42	5.06	2.76	7.45	3.95	1.47	2.48	1.36	0.96
Mediat. sup	1.12	0.83	1.41	1.40	0.93	1.87	3.18	1.64	4.73	5.17	2.55	7.75	3.09	1.32	4.08	5.30	3.15	7.85	2.13	1.62	2.63	1.46	1.05
Lam. superioara, cm	1.20	0.91	1.49	1.47	1.00	1.94	3.45	1.89	4.96	5.54	2.93	8.14	3.24	1.57	4.92	5.92	3.93	8.26	2.67	1.77	2.77	1.55	1.95
Lam. inferioara, cm	1.28	1.06	1.57	1.54	1.08	2.01	3.65	2.12	5.18	5.90	3.30	8.49	3.48	1.81	5.15	6.33	4.06	8.66	2.41	1.91	2.91	1.54	1.24
Mediat. sin	1.36	1.08	1.65	1.61	1.13	2.08	3.87	2.34	5.40	6.24	3.65	8.83	3.70	2.03	5.38	6.72	4.30	9.65	2.54	2.03	3.64	1.74	1.13
Mediat. sup	1.44	1.15	1.73	1.68	1.21	2.15	4.09	2.56	5.86	6.58	3.89	9.17	3.92	2.25	5.85	7.17	4.24	9.74	2.51	2.17	3.71	1.81	1.21
Lam. superioara, cm	1.51	1.23	1.80	1.74	1.28	2.23	4.28	2.70	5.87	6.58	4.02	9.50	4.14	2.44	5.81	7.46	5.14	9.79	2.30	2.39	3.89	1.89	1.29
Lam. inferioara, cm	1.59	1.30	1.88	1.84	1.32	2.29	4.50	2.86	6.05	7.32	4.62	9.82	4.54	2.67	6.02	7.82	5.46	10.16	2.39	2.42	3.42	1.96	1.36
Mediat. sin	1.67	1.37	1.95	1.87	1.40	2.34	4.69	3.15	6.33	7.52	4.92	10.13	4.54	2.87	6.22	8.17	5.85	10.51	2.03	2.53	3.54	2.04	1.63
Mediat. sup	1.75	1.44	2.02	1.93	1.46	2.40	4.98	3.34	6.43	7.81	5.31	10.44	4.74	3.05	6.42	8.51	6.15	10.88	2.13	2.65	3.65	2.11	1.71
Lam. superioara, cm	1.83	1.50	2.08	1.99	1.51	2.46	5.07	3.52	6.62	8.11	5.49	10.74	4.93	3.23	6.61	8.83	6.47	11.20	3.26	2.76	3.77	2.11	1.77
Lam. inferioara, cm	1.91	1.59	2.15	2.04	1.57	2.52	5.55	3.69	6.81	8.40	5.76	11.04	5.13	3.43	6.80	9.16	6.78	11.53	3.37	2.86	3.88	2.25	1.84
Mediat. sin	1.98	1.63	2.22	2.10	1.62	2.58	5.43	3.88	6.99	8.67	6.02	11.33	5.30	3.61	6.98	9.47	7.09	11.85	3.48	2.97	3.99	2.32	1.91
Mediat. sup	2.05	1.69	2.28	2.15	1.67	2.65	5.60	4.03	7.17	8.93	6.28	11.61	5.40	3.79	7.16	9.78	7.38	12.17	3.58	3.07	4.10	2.39	1.97
Lam. superioara, cm	2.05	1.75	2.43	2.21	1.72	2.69	5.77	4.19	7.35	9.21	6.53	11.89	5.65	3.95	7.34	10.03	7.67	12.49	3.68	3.17	4.20	2.45	2.04
Lam. inferioara, cm	2.11	1.81	2.40	2.26	1.77	2.74	5.94	4.33	7.53	9.47	6.78	12.17	5.82	4.13	7.52	10.27	7.85	12.76	3.73	3.27	4.27	2.51	2.03
Mediat. sin	2.17	1.87	2.46	2.31	1.82	2.80	6.10	4.51	7.70	9.57	7.03	12.45	5.93	4.33	7.63	10.43	8.16	13.10	3.88	3.36	4.41	2.58	2.06
Mediat. sup	2.22	1.93	2.52	2.36	1.88	2.85	6.28	4.65	7.87	9.69	7.26	12.70	6.15	4.45	7.84	10.59	8.40	13.39	3.96	3.46	4.59	2.64	2.13
Lam. superioara, cm	2.28	1.98	2.58	2.43	1.94	2.92	6.43	4.82	8.04	10.33	7.49	12.96	6.31	4.51	8.05	11.73	8.17	13.69	4.10	3.55	4.60	2.70	2.26
Lam. inferioara, cm	2.34	2.03	2.64	2.46	2.05	2.98	6.58	4.95	8.20	10.47	7.72	13.22	6.47	4.56	8.19	11.50	9.03	13.97	4.17	3.64	4.70	2.76	2.33
Mediat. sin	2.39	2.09	2.70	2.50	2.01	3.00	6.73	5.10	2.56	10.71	7.94	13.47	6.63	4.91	8.35	11.77	9.28	14.26	4.26	3.73	4.79	2.82	2.39
Mediat. sup	2.44	2.14	2.75	2.55	2.05	3.05	6.86	5.24	2.52	10.94	8.16	13.72	6.78	5.06	8.51	12.04	9.34	14.53	4.35	3.82	4.89	2.88	2.44
Lam. superioara, cm	2.50	2.19	2.81	2.60	2.09	3.10	7.03	5.38	2.87	11.17	8.38	13.97	6.94	5.21	8.66	12.30	9.79	14.81	4.44	3.90	4.98	2.95	2.50
Lam. inferioara, cm	2.55	2.24	2.86	2.64	2.14	3.15	7.17	5.52	2.88	11.40	8.59	14.21	7.08	5.35	8.82	12.55	10.03	15.09	4.59	3.99	5.07	2.99	2.55
Mediat. sin	2.60	2.29	2.91	2.69	2.18	3.19	7.32	5.65	2.85	11.63	8.80	14.45	7.23	5.49	9.97	12.81	10.27	15.35	4.62	4.07	5.16	3.04	2.60
Mediat. sup	2.65	2.34	2.96	2.73	2.22	3.24	7.46	5.69	2.13	11.83	9.01	14.68	7.38	5.63	9.12	15.06	10.51	15.61	4.70	4.15	5.25	3.10	2.66

Anexa 2

Dimensiunile normale ale ventriculului drept (VD) la copii

Vârstă	< o săptămână			o săptămână – 6 luni			6 luni – 5 ani			5-15 ani		
	Mediu, cm	Limită inferioră, cm	Limită superioară, cm	Mediu, cm	Limită inferioră, cm	Limită superioară, cm	Mediu, cm	Limită inferioră, cm	Limită superioară, cm	Mediu, cm	Limită inferioră, cm	Limită superioară, cm
Diametrul diastolic al VD, cm	1,21	0,80	1,55	0,99	0,68	1,30	1,04	0,60	1,50	1,34	0,85	2,00
Fracție de scurtare, %	30	16	42	30	17	42	34	26	41	33	25	42

Anexa 3

Dimensiunile normale medii ale arterei pulmonare la copii

Greutatea corpului, kg	Suprafața corporală, m ²	Diametrul inelului fibros AP, mm	Suprafața de secțiune a inelului fibros AP, mm ²	Diametrul unei ramuri a AP, mm	Suprafața de secțiune a unei ramuri a AP, mm ²
3	0,15	6	28,25	4,2	14,15
4	0,20	7,5	44,15	5,3	22,10
5	0,25	8,5	56,70	6	28,35
6	0,30	9,5	70,85	6,7	35,40
7	0,35	10	78,50	7	39,25
8	0,40	11	95	7,8	47,50
9	0,45	11,5	104	8,2	52
10	0,50	12	113	8,5	56,60
12	0,60	13	132,50	9,2	66,40
14	0,70	13,5	143	9,5	71,55
16	0,80	14,5	165	10,2	82,50
18	0,90	15	176,65	10,6	88,35
20	1,00	15,5	188,60	11	94,39
25	1,20	16,5	213,70	11,7	108,05
30	1,50	17,5	240,40	12,4	120,25
35	1,80	18	254,40	12,8	127,20

Diametrul normal mediu al inelelor valvulare

Suprafața corporală, m ²	Valva mitrală, mm	Valva tricuspidă, mm	Valva aortică, mm	Valva arterei pulmonare, mm
0,20	11,2	13,4	7,4	8,4
0,25	12,6	14,9	8,1	9,3
0,30	13,6	16,2	8,9	10,0
0,35	14,4	17,3	9,5	10,7
0,40	15,2	18,2	10,1	11,3
0,45	15,8	19,2	10,7	11,9
0,50	16,9	20,7	11,5	12,8
0,60	17,9	21,9	12,3	13,3
0,70	18,9	23,0	13,0	14,2
0,80	19,7	24,0	13,4	14,8
0,90	20,2	24,9	14,0	15,3
1,00	21,4	26,2	14,8	16,2
1,20	22,3	27,7	15,5	17,0
1,50	23,1	28,9	16,1	17,6
1,80	23,8	29,1	16,5	18,0
2,00	24,2	30,0	17,2	18,2

Protocolul examinării ECOCG +ECOCCG-DOPPLER pentru pacienții cu MCC
(instituție medicală)

Raportul ECOCG +ECOCCG-DOPPLER

Data _____

Pacientul _____ Data nașterii _____
 Greutatea _____ kg Înălțimea _____ cm FC _____ (b\min) TA _____ mm Hg ASC _____ m2
 Situs solitus inversus Axa inimii _____ Concordanță: AV _____ VA _____
 Drenaj venos: vene cave _____ vene pulmonare _____

ATRIUL STÂNG, diam.: ATRIUL DREPT, diam.: VENTRICULUL DREPT
 Ant. – post. _____ mm (N _____) sup.-inf. _____ mm Dd _____ mm(N _____)Ds _____ mm
 Sup.-inf. _____ mm med.-lat _____ mm VD _____ ml VS _____ ml
 Med.-lat. _____ mm FS _____ % FE _____ %

VENTRICULUL STÂNG: PPVSD _____ mm (N _____) SIVd _____ mm (N _____)
 Dd _____ mm (N _____) Ds _____ mm s _____ mm s _____ mm
 Vd _____ ml Vs _____ ml mișcarea SIV _____
 FS _____ % FE _____ % Contractilitatea _____

CAVITĂȚILE CORDULUI _____
 SIV _____
 SIA _____

Aorta:

diametrul: _____ mm la inel (N _____)
 _____ mm sin. Valsalva
 _____ mm ascendentă
 _____ mm arc

GP VS-Ao max _____ mm Hg Regurg. _____
 mediu _____ mm Hg
 GP la istm: max. _____ mm Hg
 mediu _____ mm Hg

Valva aortică _____**Artera pulmonară:**

diametrul _____ mm la inel (N _____)
 _____ mm trunchi (N _____)
 ramurile _____ mm dreapta (N _____)
 _____ mm stinga (N _____)

GP VD-AP max. _____ mm Hg Regurg. _____
 mediu _____ mm Hg

Valva mitrală :

_____ mm la inel (N _____)

GP AS-VS max. _____ mm Hg Regurg. _____
 mediu _____ mm Hg

Cuspele: _____

Aparatul subvalvular _____

Valva tricuspidă:

_____ mm la inel (N _____)

GP AD-VD max. _____ mm Hg Regurg. _____
 mediu _____ mm Hg

Presiunea sistolică în VD _____ mm Hg

Presiunea medie în AP _____ mm Hg

Pericardul: _____

CONCLUZII: _____

TESTE PENTRU AUTOEVALUARE

1. Investigația ecocardiografică a copilului a depistat dilatarea VD, AD; gradientul presarial la nivelul valvei arterei pulmonare este 8,5 mm Hg. La care din MCC putem gândi:
 - a) defectul septal ventricular
 - b) defectul septal atrial
 - c) stenoza arterei pulmonare
 - d) tetralogia Fallot.
2. Pentru ventriculul morfologic stâng sunt caracteristice:
 - a) forma mai triunghiulară
 - b) forma mai rotundă
 - c) suprafața endocardială netedă
 - d) suprafața endocardială trabeculară.
3. Pentru identificarea ecocardiografică a arterei pulmonare trebuie să găsim:
 - a) valva
 - b) tractul de ejection
 - c) crosa
 - d) bifurcația.
4. Pentru identificarea ecocardiografică a aortei trebuie să găsim:
 - a) valva
 - b) tractul de ejection
 - c) crosa
 - d) bifurcația.
5. Pentru aprecierea corectă a repercusiunilor hemodinamice ale MCC la copii este indispensabil să știm:
 - a) greutatea și înălțimea
 - b) frecvența contractiilor cardiaice
 - c) greutatea
 - d) presiunea arterială.
6. Parametrii discriminanți în determinarea conduitei terapeutice și aprecierea eficacității corecției chirurgicale a MCC sunt:
 - a) dimensiunile cavităților cordului
 - b) diametrele inelelor valvulare și ale vaselor magistrale
 - c) gradientele presionale
 - d) presiunile în cavitățile drepte ale cordului
 - e) ecogenitatea miocardului.
7. În cazul unui DSV perimembranos în aneurism, gradul dereglarilor hemodinamice depinde de:
 - a) diametrul aneurismului la bază
 - b) gradul de prolabare a aneurismului în cavitatea VD
 - c) diametrul orificiului în aneurism
 - d) diametrul diastolic al VS.

8. În cazul unui DSV hemodinamic semnificativ mai întâi se dilată:
- a) aorta
 - b) atrul și ventriculul stâng
 - c) atrul și ventriculul drept
 - d) artera pulmonară
9. Gradientul presarial maximal VD-AP a fost apreciat ca 35 mm Hg. Este vorba despre:
- a) stenoză de arteră pulmonară largă
 - b) stenoză de arteră pulmonară moderată
 - c) stenoză de arteră pulmonară severă
 - d) arteră pulmonară fără modificări patologice.
10. Gradientul presarial maximal VD-AP a fost apreciat ca 8,9 mm Hg. Este vorba despre:
- a) stenoză de arteră pulmonară largă
 - b) stenoză de arteră pulmonară moderată
 - c) stenoză de arteră pulmonară severă
 - d) arteră pulmonară fără modificări patologice.
11. În timpul investigației ECOCG modul B a fost vizualizată o discontinuitate a SIV. Pentru a confirma prezența unui DSV este necesar să constatăm prezența jetului sanguin patologic folosind metodele:
- a) Doppler pulsatil, continuu și color
 - b) Doppler color
 - c) ECOCG 3D
 - d) ECOCG Modul M.
12. În cazul unui DSA hemodinamic semnificativ mai întâi se dilată:
- a) aorta
 - b) atrul și ventriculul stâng
 - c) atrul și ventriculul drept
 - d) artera pulmonară.
13. Investigația ecocardiografică a unui copil în vîrstă de 12 ani a depistat dilatarea de sinus coronarian. Cavitatele cordului sunt în limitele normei. Presiunea sistolică în ventriculul drept este de 20 mm Hg. Putem gândi la:
- a) vene pulmonare aberante
 - b) defect septal atrial
 - c) vena cava superioară stângă
 - d) DSA cu vene pulmonare aberante
 - e) defect septal ventricular.
14. Canalul atrioventricular complet obligator include:
- a) DSA „ostium primum”
 - b) DSV perimembranos
 - c) valva AV comună
 - d) stenoza de arteră pulmonară
 - e) DSV muscular apical.

15. Canalul atrioventricular parțial obligator include:
- a) DSA „ostium primum”
 - b) DSV perimembranos
 - c) valva AV comună
 - d) „Clefl” al valvei mitrale anterioare
 - e) DSV muscular apical.
16. Presiunea sistolică în ventriculul drept poate fi apreciată folosind gradientul jetului intersistemic patologic în caz de:
- a) defect septal atrial
 - b) defect septal ventricular
 - c) canal arterial permeabil
 - d) canal atrioventricular complet.
17. În cazul canalului atrioventricular complet, presiunea sistolică în ventriculul drept poate fi apreciată folosind:
- a) gradientul jetului regurgitant prin valva tricuspidă
 - b) gradientul jetului intersistemnic patologic
 - c) gradientul jetului regurgitant prin valva arterei pulmonare
 - d) toate metode sus-numite.
18. Examenul ECOCG a unui pacient a evidențiat un DSV perimembranos mare, aorta deplasată spre dreapta, arteră pulmonară dilatată, gradientul presional maximal VD-AP 14 mm Hg. Diagnoza:
- a) defect septal ventricular
 - b) tetralogia Fallot
 - c) defect septal ventricular cu stenoză de arteră pulmonară
 - d) canal atrioventricular parțial.
19. În cazul tetralogiei Fallot, pentru arteră pulmonară este caracteristică:
- a) stenoză largă
 - b) stenoză severă
 - c) hipoplasia trunchiului și/sau ramurilor
 - d) hipertrofia infundibulului
 - e) dilatarea inelului.
20. Pentru tetralogia Fallot sunt caracteristice:
- a) defectul septal ventricular subaortic
 - b) stenoza severă de arteră pulmonară
 - c) defectul septal ventricular muscular apical
 - d) dextrapozitja aortei
 - e) vene pulmonare aberante.

Răspunsuri la teste

- 1) a
- 2) b, c
- 3) d
- 4) c
- 5) a
- 6) a, b, c, d
- 7) c
- 8) b
- 9) b
- 10) d
- 11) a
- 12) c, d
- 13) c
- 14) a, b, c
- 15) a, d
- 16) b, c
- 17) c
- 18) a
- 19) b, c, d
- 20) a, b, d

Bibliografie

1. Allen H.A. et al. Moss and Adams' Heart Diseases in Infants, Children and Adolescents, Including the Fetus and Young Adults. Lippincott, Whilliams & Wilkins, 2008, 7th Edition. 1525 p.
2. Anderson R.H., Ho S.Y. Sequential segmental analysis – description and categorization for the millennium. In: Cardiol Young. 1997, nr 7, p. 98-116.
3. Anderson R.H., Weinberg P.M. The clinical anatomy of tetralogy of Fallot. In: Cardiol. Young. 2005, nr 15 (Suppl. 1), p. 38-47.
4. Casasoprana A., Olivier B., Magnier S. Evolution des cardiopathies congenitales non opérées chez l'adulte. In: Realites Cardiologiques. 1997, nr 115, p. 13-20.
5. Ciubotaru A. Optimizarea tratamentului chirurgical al malformațiilor cardiaice congenitale cu săntare intracardiacă și prognozarea complicațiilor. Autoref. tezei dr. hab. în medicină. Chișinău, 2006, 39 p.
6. Feigenbaum H., Armstrong W.F., Ryan T. Feigenbaum's echocardiography. 6th edition. Lippincott, Whilliams and Wilkins, 2005. 511 p.
7. Geormăneanu M. Evaluarea și abordarea terapeutică în trepte a unor cardiopatii manifestante precoce. In: Medicina modernă. 1997, vol. IV, nr 4, p. 194-196.
8. Hoffman J., Kaplan S. The incidence of congenital heart diseases. In: J.Am.Coll.Cardiol. 2002, nr 39, p. 1890-900.
9. Kachaner J. et al. Cardiologie Pédiatrique. Paris, 1991. 1219 p.
10. Maliga O. Valoarea ecocardiografiei în diagnosticul malformațiilor cardiaice congenitale. Teza de doctor în medicină. Chișinău, 2010, 145 p.
11. Maliga O. Malformațiile cardiaice congenitale. Diagnosticul ecocardiografic diferențial. Recomandările metodice. Chișinău, 2013, 49 p.
12. Nimura Y. Short History of the Development of Echocardiography with Special Reference to This in Japan. Part 1. In: J. Echocardiogr. 2003, nr 1, vol.1, p. 46-59.
13. Nimura Y. Short History of the Development of Echocardiography with Special Reference to This in Japan. Part 2. In: J. Echocardiogr. 2004, nr 1, vol.2, p. 27-35.
14. Oh J.K., Seward J.B., Tajik A.I. Echo Manual, 5th Edition. Lippincott, Whilliams & Wilkins, 2006. 424 p.

15. Roudaut R. et al. Une detection plus fine et plus precoce des cardiopathies. În: Cariologie pratique. 2009, nr 872-873, p. 4-7.
16. Sidi D. Maladies cardiaques de l'enfant. Des bouleversements considérables. În: La revue du praticien. 2006, tome 56, nr 6, p. 597-598.
17. Socoteanu I. Tratat de patologie chirurgicală cardiovasculară. Editura medicală, Bucureşti, 2007. 2210 p.
18. Tolsticova O., Ciubotaru A. Clasificarea contemporană a viciilor cardiaice congenitale și răspândirea lor în Republica Moldova. În: Materialele conferinței a IV-lea științifico-practică a cardiolologilor. Chișinău. 2001, p.78-83.
19. Van Albada M.E., Bergher R.M.F. Pulmonary artery hypertension in congenital cardiac disease - the need for refinement of the Evian-Venice classification. In: Cardiol. Young. 2008, nr 18, p. 10-17.
20. Van Praagh R. Terminology of congenital heart disease. Glossary and commentary. In: Circulation. 1977, nr 56, p. 139-143.
21. Бураковский В.И., Бокерия Л.А. – ред. Сердечно-сосудистая хирургия. М. Медицина. 1996. 768 стр.

• 715055